

## رفتار زیست تخریب‌پذیری و مهاجرت در کامپوزیت‌های پلی‌لاکتیک اسید تقویت‌شده با نانوکریستال سلوزل و نانورس

بهزاد کرد<sup>\*</sup> <sup>۱</sup> و مهدی روحانی<sup>\*</sup>

۱- نویسنده مسئول، استادیار، گروه سلوزلی و بسته‌بندی، پژوهشکده شیمی و پتروشیمی، پژوهشگاه استاندارد، کرج،

پست الکترونیک: b.kord@standard.ac.ir

۲- استادیار، گروه سلوزلی و بسته‌بندی، پژوهشکده شیمی و پتروشیمی، پژوهشگاه استاندارد

تاریخ دریافت: مرداد ۱۳۹۴ تاریخ پذیرش: دی ۱۳۹۴

### چکیده

این تحقیق با هدف بررسی تأثیر حضور همزمان نانوکریستال سلوزل و نانورس بر رفتار زیست تخریب‌پذیری و مهاجرت فیلم‌های بر پایه پلی‌لاکتیک اسید انجام شد. فیلم‌های پلی‌لاکتیک اسید و نانوکامپوزیت‌های آن حاوی درصدهای مختلف نانوکریستال سلوزل و نانورس (۰، ۳ و ۵ درصد وزنی) با استفاده از روش قالب‌گیری حلال ساخته شد. برای بهبود سازگاری و اختلاط‌پذیری با پلیمر، نانوکریستال سلوزل با اسید اولیئیک وارد واکنش شده و اصلاح شد. سپس، برای ارزیابی رفتار زیست تخریب‌پذیری و مهاجرت فیلم‌ها، میزان کاهش وزن در آزمیم و دفن در خاک و کمپوست و میزان مهاجرت کلی نمونه‌ها اندازه‌گیری شد. نتایج نشان داد که میزان زیست تخریب‌پذیری کامپوزیت‌ها در محیط آزمیم، خاک و کمپوست، با افزایش مقدار نانوذرات کاهش یافت. از طرف دیگر با افزودن نانوکریستال سلوزل و نانورس به ماده زمینه پلیمری میزان مهاجرت کلی کامپوزیت‌ها کاهش یافت. این مسئله را می‌توان به چسبندگی بهتر نانوذرات با ماده زمینه پلیمری و تشکیل مسیرهای پریج و خم نسبت داد.

واژه‌های کلیدی: نانوکامپوزیت، پلی‌لاکتیک اسید، زیست تخریب‌پذیری، کاهش وزن، مهاجرت کلی.

### مقدمه

جهانی می‌شود و گاهی اوقات با تولید گازهای سمی آلودگی زیست‌محیطی را تشديد می‌کند. از طرفی ذخائر نفتی جهان محدود و رو به پایان است. از این‌رو نیاز به توسعه مواد پلاستیکی سازگار با محیط‌زیست و زیست تخریب‌پذیر به شدت احساس می‌شود؛ بهویژه در مورد فراورده‌های یکبار مصرف و فیلم‌های پلاستیکی مورد استفاده در صنایع بسته‌بندی که قادر ترکیبات سمی هستند. تخریب زیستی به عنوان روش مطلوب مورد توجه قرار گرفته است (Sinha and Okamoto, 2003). یکی از

پیشرفت‌های فناوری در زمینه پلیمرهای مشتق از منابع نفتی مزایای بسیاری را برای بشر به ارمغان آورده است. با وجود این، تأثیر مخرب پلاستیک‌های تجزیه‌ناپذیر بر روی محیط‌زیست هر روز آشکارتر می‌شود. تأثیر زیست‌محیطی ضایعات پلاستیکی منجر به افزایش نگرانی‌های جهانی شده و از طرفی راه‌های دفع این ضایعات محدود است. عموماً سوزاندن ضایعات پلاستیکی با تولید حجم قابل توجیهی گاز دی‌اکسیدکربن همراه است که موجب افزایش گرمایش

شروع شده و با جذب درون شبکه‌ای الیگومرها اسیدلاکتیک و کاتابولیسم‌ها ادامه پیدا می‌کند. البته سرعت گستاخ بیاندها بالا رفتن مقدار رطوبت و دما افزایش می‌یابد. با شکستن زنجیره انتهایی PLA و آزاد شدن گروههای کربوکسیل روند تخریب سریعتر می‌شود (Sinha and Okamoto, 2003; Singh *et al.*, 2011; Chuensangjun *et al.*, 2013). کترل میزان تخریب و انتشار ترکیبات مهاجرت‌کننده به عنوان مسئله اصلی برای طراحی سیستم‌های زیست‌تخریب‌پذیر در صنایع بسته‌بندی به شمار می‌رود. پلی‌لاکتیک اسید اسید به عنوان متداول‌ترین زیست‌پلیمر برای این اهداف، باید شرایط تماس با انواع مختلف ترکیبات را داشته باشد. اسیدلاکتیک تهها مونومر موجود در ساختار PLA است، اما ترکیبات مهاجرت‌کننده موجود در سیستم می‌تواند اسیدلاکتیک را از طریق فرایند هیدرولیز به دی‌مرها و سایر الیگومرها متصل کند. از این‌رو مواد مورد استفاده در صنایع بسته‌بندی باید به گونه‌ای طراحی شوند که حداقل مهاجرت مواد افزودنی و سایر ترکیبات را در طول دوره نگهداری کالا فراهم سازد (Mutsuga *et al.*, 2008; Fortunati *et al.*, 2012).

در زمینه زیست‌تخریب‌پذیری فیلم‌های حاصل از PLA (Chuensangjun *et al.*, 2013; Karamanlioglu, 2013) PLA و الیاف بامبو (Lee and Wang, 2006) و PLA (Shogrena *et al.*, 2003)، چندسازه پلی‌لاکتیک اسید-نانوسلولز (Liu *et al.*, 2010; Fortunati *et al.*, 2005; Nieddu *et al.*, 2012) و نانورس (Paul, 2009; Fukushima *et al.*, 2009) Bordes *et al.*, 2009; (Krishnamachari *et al.*, 2009; Roy *et al.*, 2012) مطالعات متعددی انجام شده است. با مروری بر پژوهش‌های انجام شده، مشخص شد که هیچ مطالعه معتبری در زمینه استفاده همزمان نانو ذرات رس و نانوکریستال سلولز بر رفتار زیست‌تخریب‌پذیری چندسازه حاصل انجام نشده است. هدف از این تحقیق بررسی تأثیر حضور همزمان دو نوع پرکننده نانوکریستال سلولز و نانورس بر رفتار زیست‌تخریب‌پذیری و مهاجرت فیلم‌های بر پایه پلی‌لاکتیک اسید می‌باشد. البته خواص ریخت‌شناسی، مکانیکی و

پلیمرهای مناسب برای تحقق این هدف، پلی‌لاکتیک اسید (PLA) است؛ زیرا این پلیمر حاصل از فراورده‌های کشاورزی بوده و به راحتی در طبیعت تجزیه می‌شود. پلیمری جدید محسوب نمی‌شود، با وجود این، پیشرفت‌های اخیر که منجر به تولید مقرن‌به‌صرفه مونومر این پلاستیک شده است، این پلیمر را در رأس صنایع پلاستیک‌های زیست تخریب‌پذیر قرار داده است (Lim *et al.*, 2008).

پلی‌لاکتیک اسید نوعی پلی‌استر گرمانزم آلیفاتیک خطی است که از تخمیر مواد اولیه گیاهی نظیر نشاسته ذرت با دو روش پلیمریزاسیون تراکمی<sup>۱</sup> و پلیمریزاسیون حلقه باز<sup>۲</sup> حاصل می‌شود. این پلیمر به دلیل داشتن خواص مطلوبی نظیر زیست‌سازگاری، روشنی، خواص مکانیکی، گرمانرمی و فراورش آسان گزینه مناسبی برای مصارف پزشکی، بسته‌بندی و نساجی است (Drumright *et al.*, 2000; Garlotta *et al.*, 2001; Rhim *et al.*, 2009) سوختن گاز اکسیدنیتروژن تولید نمی‌کند و تنها به‌اندازه یک سوم پلی‌الفین‌های رایج حرارت ایجاد می‌کند. به‌طوری‌که شکنندگی بالا، پایداری حرارتی کم و خواص بازدارندگی ضعیف از جمله معایب این پلیمر برای کاربرد در صنایع مختلف است (Rhim *et al.*, 2009). افزودن نانومواد می‌تواند به عنوان جایگزینی مناسب برای برطرف کردن این معایب تلقی گردد و موجب بهبود خواص این زیست‌پلیمر در مصارف گوناگون شود (Almasi *et al.*, 2014; Dadashi *et al.*, 2012).

در طبیعت عوامل زیستی و غیرزیستی در کنار یکدیگر موجب تخریب مواد می‌شوند. فرایند تخریب زیستی PLA تحت تأثیر خصوصیات ذاتی این پلیمر نظیر وزن مولکولی، درجه خلوص، میزان بلورینگی، دمای انتقال شیشه و دمای ذوب و همچنین عوامل محیطی نظیر رطوبت، دما، PH و حضور آنزیم‌ها یا میکرووارگانیسم‌ها قرار می‌گیرد. فرایند تخریب PLA در طبیعت با تفویض رطوبت به داخل ساختار پلیمری آن و گسست بیوندهای استری و کاهش وزن مولکولی

1- Polycondensation Polymerization

2- Ring-opening Polymerization

۲۴ ساعت در آون در دمای  $60^{\circ}\text{C}$  خشک شدند. مقدار مشخصی از PLA در ۱۰۰ میلی لیتر کلروفرم به مدت ۱۲ ساعت با همزن مغناطیسی هم زده شد و به مدت ۳۰ min به وسیله دستگاه فراصوت Zinsser Analytic مدل VCX500 ساخت آلمان تحت تیمار فراصوتی قرار گرفت. سپس محلول حاصل به درون قالب‌های نفلونی ریخته شده و به منظور تبخیر حلال به مدت ۲۴ ساعت در دمای محیط قرار گرفت. برای تهیه نانوکامپوزیت‌ها با نسبت‌های مختلف نانورس و نانوکریستال سلولز مطابق جدول ۱، مقدار تعیین شده از هریک از نانوذرات در کلروفرم به مدت ۱۲ ساعت با همزن مغناطیسی هم زده شد. برای حصول پراکنش بهتر نانوذرات، سوسپانسیون‌های حاصل به مدت ۳۰ min تحت تیمار فراصوتی قرار گرفتند. در ادامه محلول PLA و سوسپانسیون نانوذرات با درنظر گرفتن نسبت‌های اختلاط از پیش تعیین شده، با یکدیگر مخلوط شده و به مدت ۳۰ min با همزن مغناطیسی و ۳۰ min با دستگاه فراصوت عمل آوری شدند. درنهایت مخلوط حاصل به درون قالب‌های نفلونی ریخته شد و پس از بخار شدن حلال در دمای اتاق، فیلم‌های تهیه شده از قالب‌ها جدا و به مدت ۱۲ ساعت در آون در دمای حدود  $40^{\circ}\text{C}$  درجه سانتی‌گراد قرار داده شدند تا باقیمانده حلال به طور کامل حذف شود.

جدول ۱- درصد وزنی اجزای تشکیل‌دهنده ترکیب

تیمارهای مختلف

شماره تیمار	پلی لاکتیک اسید (%)	نانوکریستال سلولز (%)	نانورس (%)
A1	۱۰۰	.	.
A2	۹۷	۳	.
A3	۹۵	۵	.
B1	۹۷	.	۳
B2	۹۴	۳	۳
B3	۹۲	۵	۳
C1	۹۵	.	۵
C2	۹۲	۳	۵
C3	۹۰	۵	۵

بازدارندگی فیلم‌های نانوکامپوزیتی حاضر توسط نویسندهای گزارش شده است (Kord and Roohani, 2015).

## مواد و روش‌ها

### مواد

در این تحقیق از پلی لاکتیک اسید با وزن مولکولی  $180000 \text{ g/mol}$ ، دانسیته  $1.27 \text{ g/cm}^3$ ، نقطه ذوب  $150-165^{\circ}\text{C}$  و شاخص جریان مذاب  $5 \text{ g/min}$ ، محصول شرکت آلمانی Biomer به عنوان ماده زمینه پلیمری استفاده شد. کلروفرم به عنوان حلال از شرکت مرک PLA از نام تهیه شد. نانورس از نوع موتشموریلوئیت اصلاح شده، با نام Southern تجاری کلوزیت B ۳۰ از شرکت آمریکایی Clay خردباری شد. این ماده دارای ظرفیت تبادل کاتیونی  $90 \text{ meq/100g}$  و فاصله بین لایه‌ای  $1.85 \text{ nm}$  می‌باشد. نانوکریستال سلولز مطابق جدول روشن ذکر شده در منابع تهیه شد (Kord and Roohani, 2015). مواد شیمیایی مورد استفاده برای اصلاح سطح نانوکریستال سلولز از شرکت مرک آلمان با درجه خلوص آزمایشگاهی تهیه شد. آنزیم لیپاز (Amano Lipase PS) حاصل از قارچ Burkholderia cepacia با فعالیت ویژه آنزیمی  $23000 \text{ Units/g}$  از شرکت سیگما آلدريچ خردباری شد.

## روش‌ها

قبل از تهیه فیلم و به منظور بهبود سازگاری بین نانوکریستال سلولز و ماده زمینه پلی لاکتیک اسید، نانوکریستال سلولز با استفاده از سامانه حلال پیریدین- پاراتولوئن سولفونیل کلرايد به همراه اسید اولئیک مطابق روش الماسی و همکاران (۲۰۱۴) اصلاح (Almasi et al., 2014) و با استفاده از خشک‌کن سرمایشی خشک شد. برای تهیه فیلم‌های PLA و نانوکامپوزیت‌های آن از روش قالب‌گیری حلال استفاده شد (De Souza Lima et al., 2003; Roohani et al., 2008). برای این منظور، ابتدا PLA و نانورس پیش از استفاده، به مدت

1- Organomodified Montmorillonite (OMMT)

زیر سطح خاک دفن شدند. جعبه‌های حاوی خاک و نمونه‌ها در دمای ۲۵ درجه سانتی‌گراد در آزمایشگاه نگهداری شدند. در طول زمان آزمایش، خاک داخل جعبه‌ها با اضافه کردن منظم آب مقطر (روزی یکبار) مرطوب نگهداشت شد. آب اضافی موجود در جعبه‌ها از طریق سوراخ‌های زیرین خارج شد. برای اندازه‌گیری میزان تخریب، نمونه‌ها در فواصل زمانی معین (هفت روز) از زیر خاک خارج شده، خاک موجود در سطح آنها از طریق شستشو با آب مقطر جدا شده، سپس برای رسیدن به وزن خشک به مدت ۲۴ ساعت تحت خلاً خشک شدند. میزان کاهش وزن در طول زمان برای ارزیابی مقدار تخریب آنرا بدستور  $\frac{W_0 - W_d}{W_0} \times 100$  محاسبه شد.

$$\frac{W_0 - W_d}{W_0} \times 100 = \text{کاهش وزن} \quad (2)$$

که  $W_0$  و  $W_d$  به ترتیب بیانگر وزن خشک اولیه و وزن خشک پس از دفن در خاک می‌باشند. آزمون با سه تکرار برای هریک از نمونه‌ها انجام شد.

تخریب‌زیستی در حالت دفن در کمپوست آزمون تخریب فیلم‌های PLA خالص و نانوکامپوزیت‌های آن در حالت دفن در کمپوست مشابه روش تخریب‌پذیری در خاک انجام شد. در این روش نمونه‌ها در داخل جعبه‌های پلاستیکی حاوی کمپوست (حاصل از پسماندهای خانگی) به مدت ۸ هفته در دمای ۵۵ درجه سانتی‌گراد قرار داده شد و میزان کاهش وزن آنها در فواصل زمانی هفت‌روزه اندازه‌گیری شد.

#### آزمون مهاجرت

آزمون مهاجرت کلی<sup>۲</sup> در محلول اتانول ۱۰٪ (به عنوان محلول مشابه غذایی) مطابق استاندارد ۱۱۸۶ EN انجام شد. فیلم‌ها به شکل باریکه‌های مستطیلی با مساحت کل ۱۰

#### اندازه‌گیری تخریب‌زیستی با آنژیم

تیمار آنژیمی مطابق با روش گزارش شده در منابع Lee (and Wang, 2006; Karamanlioglu, 2013) و با کمی تغییرات اعمال شد. مخلوط آنژیمی شامل ۵ گرم لیپاز به همراه ۱۲۵ میلی‌لیتر بافر فسفات ۰/۱ مولار با  $\text{PH} = ۶$  در داخل اrlen ماير ریخته شد. نمونه‌هایی از فیلم‌ها به ابعاد  $۳ \times ۳$  سانتی‌متر برش خورده و برای رسیدن به وزن خشک به مدت ۲۴ ساعت در گرمانه با دمای ۵۰ درجه سانتی‌گراد قرار گرفتند. سپس نمونه‌ها به داخل دسیکاتور حاوی پنتا اکسید فسفر منتقل شده و پس از یک ساعت هم‌دمایی با محیط با ترازوی دیجیتال توزین شدند و در داخل مخلوط آنژیمی غوطه‌ور شدند. اrlen ماير محتوای مخلوط آنژیمی و نمونه‌ها به مدت دو هفته داخل انکوباتور لرزشی با سرعت ۹۰ دور در دقیقه و دمای ۴۰ درجه سانتی‌گراد قرار داده شد. در فواصل زمانی ۴۸ ساعت نمونه‌ها از داخل مخلوط آنژیمی خارج شده و پس از شستشو با آب مقطر، به مدت ۲۴ ساعت داخل دسیکاتور تحت خلاً خشک شده و توزین شدند. میزان تخریب آنژیمی (DED)<sup>۱</sup> با استفاده از معادله ۱ محاسبه شد.

$$DED = \frac{W_0 - W_d}{W_0} \times 100 \quad (1)$$

که  $W_0$  و  $W_d$  به ترتیب بیانگر وزن خشک اولیه و وزن خشک پس از تخریب آنژیمی می‌باشند. آزمون برای هریک از نمونه‌ها سه مرتبه تکرار شد.

#### تخریب‌زیستی در حالت دفن در خاک

زیست تخریب‌پذیری نمونه‌ها در حالت دفن در خاک، در دمای اتاق و مطابق با روش گزارش شده در منابع [۹، ۱۳، ۱۵ و ۲۷] و با کمی تغییرات انجام شد. برای این منظور ۵۰۰ گرم خاک کشاورزی مرطوب داخل جعبه‌های پلی‌پروپیلن سوراخ‌دار به ابعاد  $۲۱۰ \times ۱۵۰ \times ۸۰$  میلی‌متر ریخته شد. سپس نمونه‌های فیلم به ابعاد  $۳۰ \times ۳۰$  میلی‌متر در عمق ۵۰ میلی‌متر

میکروارگانیسم‌ها برای رشد به وجود مواد غذایی و شرایط مناسب فیزیکی و شیمیایی نظیر رطوبت، دما و اکسیژن کافی نیاز دارند. از این‌رو، فرایند تخریب کامپوزیت به فراهم کردن شرایط لازم برای رشد و حمله Ibach *et al.*, 2007; Kord *et al.*, 2007; Kord *et al.*, 2014 کاهش تخریب‌پذیری کامپوزیت‌ها در اثر حضور نانوکریستال سلولز را می‌توان به تمایل شدید گروه‌های هیدروکسیل آزاد به تشکیل کمپلکس (پیوند واندروالسی) با ترکیبات معدنی قطبی خاک نسبت داد که باعث نفوذناپذیر شدن در برابر حمله میکروارگانیسم‌ها شده است (Roohani *et al.*, 2014). در واقع بروز واکنش‌های قوی با مواد معدنی موجود در خاک، قابلیت دسترسی گروه‌های عاملی را محدود کرده و موجب کاهش سرعت تخریب‌پذیری می‌شود. از طرفی نانوکریستال سلولز مسیر انتشار مولکول‌های آب و اکسیژن را طولانی‌تر و راه عبور آنها را پرپیچ و خم کرده و شرایط لازم را برای رشد و حمله میکروارگانیسم‌ها به تعویق می‌اندازد. از این‌رو با افزایش مقدار نانوکریستال سلولز از میزان تخریب‌پذیری Rhim *et al.*, 2009 Liu *et al.*, 2009 Kord *et al.*, 2010; Fortunati *et al.*, 2012; Roohani *et al.*, 2014).

همچنین مشاهده می‌شود که شدت فرایند تخریب فیلم‌ها با افزودن نانوذرات رس به ماده زمینه PLA دچار کاهش می‌شود که می‌توان آن را به کاهش فاصله بین لایه‌های سیلیکاتی رس و کلوخه شدن ذرات نسبت داد که دسترسی به رطوبت و اکسیژن را برای فعالیت میکروارگانیسم‌ها با مشکل مواجه می‌سازد (Kord *et al.*, 2014). البته بررسی اثر افزودن نانورس بر فاصله بین لایه‌های سیلیکاتی با آزمون تفرق اشعه ایکس توسط نویسنده‌گان در پژوهش قبلی گزارش شده است (Kord *et al.*, 2015). (and Roohani, 2015).

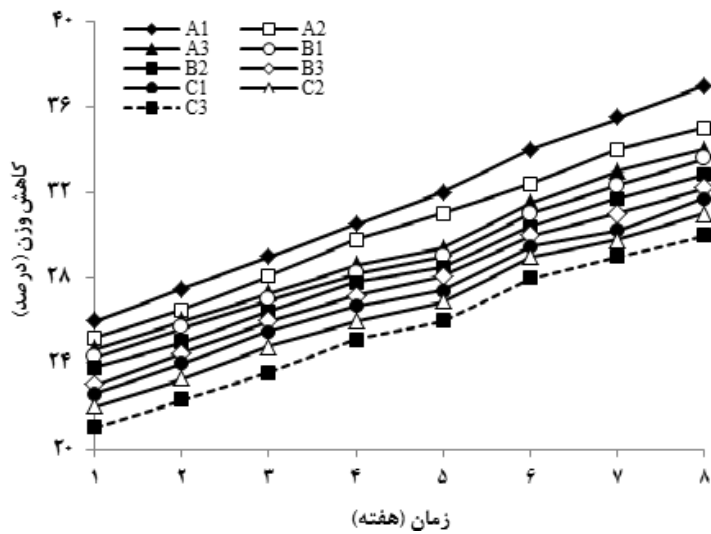
سانتی‌متر مربع در داخل لوله شیشه‌ای حاوی ۱۰ میلی‌لیتر محلول اتانول ۱۰٪ غوطه‌ور شد. سپس نمونه‌ها به مدت ۱۰ روز در دمای ۴۰ درجه سانتی‌گراد در داخل انکوباتور قرار داده شد. پس از پایان دوره لوله‌ها از انکوباتور خارج شد. سپس فیلم‌ها از داخل محلول اتانول بیرون آورده و اجازه داده شد تا کل محلول تبخیر شود. درنهایت میزان ماده باقیمانده در ته ظرف، با ترازوی آزمایشگاهی با دقت ۰/۰۰۱ گرم توزین گردید. مقدار ماده باقیمانده بیانگر میزان مهاجرت کلی از فیلم به داخل محلول مشابه غذایی است که بر حسب میلی‌گرم بر کیلوگرم بیان می‌شود. آزمون با سه تکرار برای هریک از نمونه‌ها انجام شد.

### تحلیل آماری

نتایج با استفاده از نرم‌افزار آماری SPSS در قالب طرح تجزیه واریانس یک‌طرفه در سطح اطمینان ۹۵ درصد مورد تجزیه و تحلیل قرار گرفت. در صورت وجود اختلاف معنی دار، مقایسه و گروه‌بندی میانگین‌ها با استفاده از آزمون دانکن انجام شد.

### نتایج

تخریب‌زیستی در حالت دفن در خاک میزان کاهش وزن فیلم PLA و کامپوزیت‌های حاوی نانوذرات مختلف، در طی هشت هفته دفن در خاک در شکل ۱ نشان داده شده است. همان‌طور که مشاهده می‌شود با افزایش مقدار نانوذرات، افت وزن نمونه‌ها کاهش یافته است. از طرفی کاهش وزن نمونه‌ها در طی زمان، از یک روند خطی پیروی می‌کند و با افزایش زمان دفن در خاک افزایش می‌یابد. بر این اساس، پس از هشت هفته دفن در خاک بیشترین مقدار کاهش وزن در تیمار A<sub>1</sub> (فیلم حاصل از PLA) برابر ۳۷/۳۵ درصد و کمترین آن در تیمار B<sub>3</sub> فیلم حاوی ۵٪ نانوکریستال سلولز و ۳٪ نانورس برابر ۳۰/۰ درصد مشاهده شد.

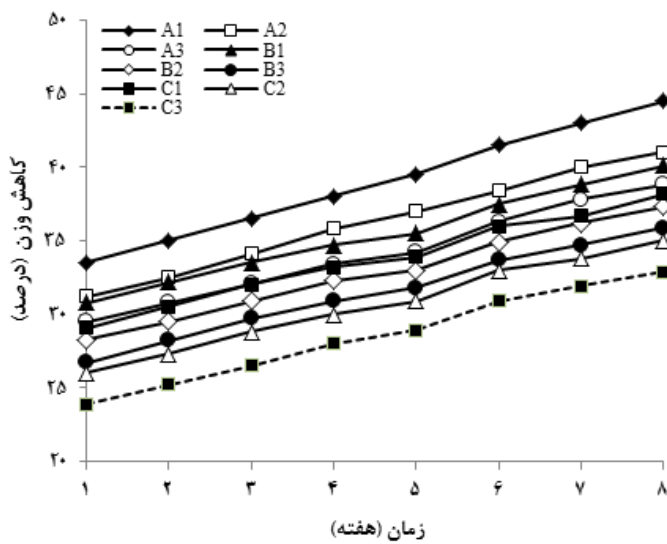


شکل ۱- میزان کاهش وزن در حالت دفن در خاک در فیلم PLA و نانوکامپوزیت‌های پلی‌لاکتیک اسید تقویت شده با مقادیر مختلف نانوکریستال سلولز و نانورس

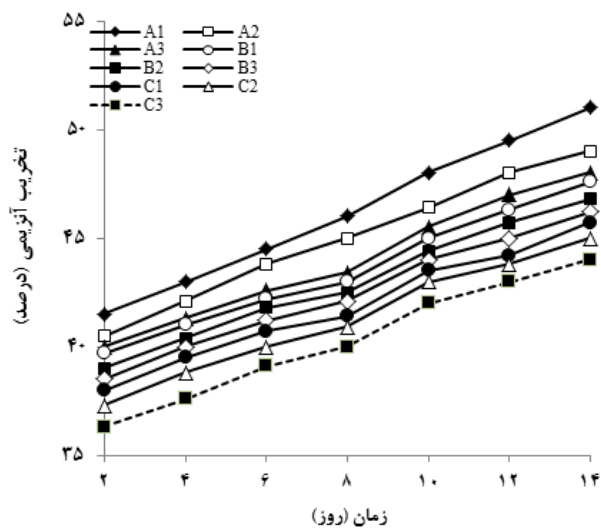
به ترکیبات ساده‌تر شکسته شده و تجزیه می‌شوند. در مرحله اول که بیشترین مقدار تخریب در آن اتفاق می‌افتد، میکروارگانیسم‌ها شروع به شکستن مولکول‌های ساده‌تر کرده که این فرایند با افزایش دما و رسیدن به دمای ۵۵ درجه سانتی‌گراد سرعت بیشتری پیدا می‌کند. در مرحله دوم، فرایند تخریب به دلیل کاهش دما و آزاد شدن دی-اکسید کربن آهسته‌تر اتفاق می‌افتد. اکسیژن، رطوبت، مواد غذایی و pH از جمله عوامل تأثیرگذار بر فرایند تخریب در محیط کمپوست به شمار می‌آیند (Karamanlioglu, 2013). از این‌رو با افزودن نانوذرات رس و نانوکریستال سلولز به ماده زمینه PLA، میزان تخریب‌پذیری به‌واسطه محدود کردن حرکت زنجیره‌های پلیمری و ایجاد مسیرهای طولانی کاهش می‌یابد (Roohani *et al.*, 2014; Kord *et al.*, 2014). همچنین نتایج نشان داد که تخریب فیلم PLA نانوکامپوزیت‌های آن در خاک به مراتب کندر از محیط کمپوست می‌باشد؛ زیرا کمپوست به دلیل داشتن مقدار رطوبت بیشتر و دمای بالاتر محیط مناسب‌تری را برای فعالیت میکروارگانیسم‌ها و به‌تبع آن تخریب فیلم‌های زیست نانوکامپوزیت PLA فراهم می‌کند.

تخربیزیستی در حالت دفن در کمپوست اثر مقدار پرکننده‌های نانومتری بر میزان تخریب‌پذیری فیلم‌های زیست نانوکامپوزیت PLA در حالت دفن در کمپوست در شکل ۲ نشان داده شده است. همان‌طور که مشاهده می‌شود با افزایش درصد نانوکریستال سلولز و نانوذرات رس به ماده زمینه PLA از میزان کاهش وزن نمونه‌ها کاسته شد. به‌این‌ترتیب پس از هشت هفته دفن در کمپوست بیشترین مقدار کاهش وزن در فیلم حاصل از PLA برابر ۶۴/۵۷ درصد و کمترین آن در فیلم حاوی ۵۲/۹۱ نانوکریستال سلولز و ۳% نانورس برابر درصد مشاهده شد.

پلی‌لاکتیک اسید را می‌توان با استفاده از میکروارگانیسم‌های موجود در محیط کمپوست پس از قرار دادن به مدت ۴۰ روز در دمای ۵۵ درجه سانتی‌گراد تخریب کرد. در محیط کمپوست فرایندهای میکروبیولوژی بیشتر بر اساس فعالیت قارچ‌ها، باکتری‌ها و آکتینومیست‌ها اقدام به تخریب مواد آلی و تبدیل آنها به ترکیبات ساده‌تر می‌کنند. در واقع فرایند تخریب در محیط کمپوست در دو مرحله اتفاق می‌افتد و در انتهای آن مجموعه پلیمرهای آلی



شکل ۲- میزان کاهش وزن در حالت دفن در کمپوست در فیلم PLA و نانوکامپوزیت‌های پلی‌لاکتیک اسید تقویت شده با مقادیر مختلف نانوکریستال سلولز و نانورس

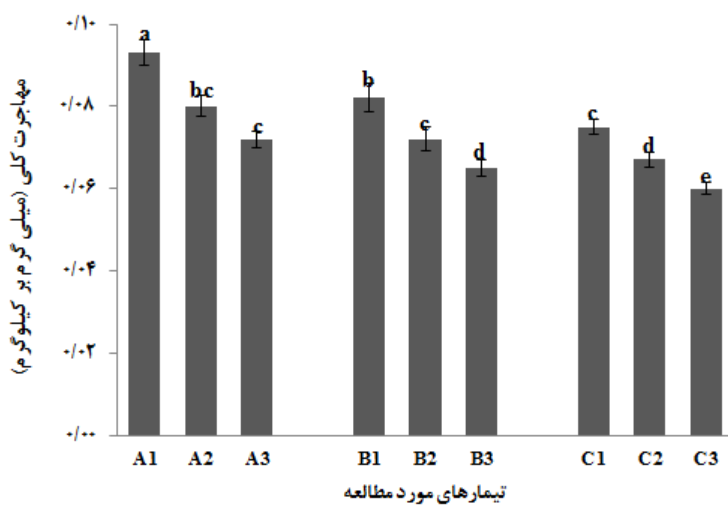


شکل ۳- میزان تخریب آنزیمی در فیلم PLA و نانوکامپوزیت‌های پلی‌لاکتیک اسید تقویت شده با مقادیر مختلف نانوکریستال سلولز و نانورس

مقدار نانوذرات کاهش می‌یابد. از طرفی میزان تخریب نمونه‌ها با افزایش زمان فعالیت آنزیم افزایش می‌یابد. بر این اساس، پس از دو هفته مجاورت با آنزیم بیشترین مقدار تخریب در فیلم حاصل از PLA خالص برابر  $51/5$  درصد و کمترین آن در فیلم حاوی  $5\%$  نانوکریستال سلولز و  $3\%$

تخریب‌زیستی با آنزیم در شکل ۳ اثر افزودن نانوکریستال سلولز و نانوذرات رس بر میزان تخریب آنزیمی فیلم PLA و نانوکامپوزیت‌های حاصل از آن در طی دو هفته مجاورت با آنزیم نشان داده شده است. مطابق شکل، میزان تخریب آنزیمی با افزایش

دیگر اثر نانورس در کاهش سرعت فعالیت آنزیم را می‌توان این گونه بیان کرد که حضور لایه‌های رس در ماده زمینه پلیمری، باعث ایجاد مسیرهای زیگزاگ و پریچ و خمی برای نفوذ آنزیم می‌شود. در واقع در حضور نانورس، آنزیمها برای عبور از فیلم، باید مسیر طولانی‌تر و پیچیده‌تری را طی کنند و همین مسئله باعث کاهش میزان تخریب آنزیمی می‌شود (Kord *et al.*, 2014).



شکل ۴- میزان مهاجرت کلی در فیلم PLA و نانوکامپوزیت‌های پلی‌لاکتیک اسید تقویت شده با مقادیر مختلف نانوکریستال سلوزل و نانورس

چندین عامل نظیر شکل، اندازه، ضربی ظاهری<sup>۱</sup>، ساختار بلوری، مقدار و کیفیت پراکنش ذرات و نحوه اتصال آنها با پلیمر بستگی دارد (Rhim *et al.*, 2009; Liu *et al.*, 2010; Fortunati *et al.*, 2012; Roohani *et al.*, 2014; Singh *et al.*, 2011; Fortunati *et al.*, 2012). حضور نانوکریستال سلوزل و نانورس از یک‌طرف، با تشکیل مسیرهای پریچ و خم مسیر عبور ترکیبات مهاجرت‌کننده را طولانی‌تر کرده و از طرف دیگر به واسطه چسبندگی بهتر نانوذرات با ماده زمینه پلیمری از آزادی حرکت زنجیره‌های پلیمری و توسعه شکاف‌های آن کاسته و به عنوان یک مانع در برابر انتشار ترکیبات مهاجرت‌کننده عمل می‌کند (Singh *et al.*, 2011; Fortunati *et al.*, 2012).

1- Aspect Ratio

نانورس برابر ۴۴/۳ درصد مشاهده شد. نانوکریستال سلوزل نقش مؤثری در کاهش فعالیت آنزیم و نفوذپذیری آن به درون ماده زمینه PLA بازی می‌کند، احتمالاً این امر ناشی از محدود شدن دامنه حرکتی زنجیره‌های پلیمری به واسطه تشکیل شبکه سه بعدی صلب از نانوکریستال سلوزل داخل Rhim *et al.*, 2009; Liu *et al.*, 2010 (Fortunati *et al.*, 2012; Roohani *et al.*, 2014).

#### ۲- مهاجرت کلی

اثر مقدار پرکننده‌های نانومتری بر مهاجرت کلی فیلم PLA و نانوکامپوزیت‌های حاصل از آن در شکل ۴ نشان داده شده است. همان‌طور که مشاهده می‌شود افزودن نانوکریستال سلوزل و نانوذرات رس به ماده زمینه PLA باعث کاهش مهاجرت کلی نمونه‌ها شده است. به‌نحوی که فیلم حاصل از PLA خالص دارای بیشترین مقدار مهاجرت کلی برابر ۰/۰۹۳ میلی‌گرم بر کیلوگرم و فیلم حاوی ۰/۰۶۱ میلی‌گرم بر کیلوگرم می‌باشد. مشخص شده است که انتقال مایعات در درون فیلم‌های پلیمری به شدت تحت تأثیر مسیر نفوذ آنها می‌باشد که به

- Fortunati, E., Peltzer, M., Armentano, L., Torre, L., Jiménez, A., and Kenny, J.M., 2012. Effects of modified cellulose nanocrystals on the barrier and migration properties of PLA nano-biocomposites. *Carbohydrate Polymers*, 90: 948–956.
- Fukushima, K., Abbate, C., Tabuani, D., Gennari, M., and Camino, G., 2009. Biodegradation of poly(lactic acid) and its nanocomposites. *Polymer Degradation and Stability*, 94(10): 1646–1655.
- Garlotta, D., 2001. A literature review of poly(lactic acid). *Journal of Polymers and the Environment*, 9(2): 63–84.
- Hakkarainen, M., Karlsson, S., and Albertsson, A.C., 2000. Rapid (bio)degradation of polylactide by mixed culture of compost microorganisms-low molecular weight products and matrix changes. *Polymer* 41: 2331–2338.
- Ibach, R.E., Clemons, C.M., and Schumann, R.L., 2007. Wood-plastic composites with reduced moisture: Effects of chemical modification on durability in the laboratory and field. In: 9<sup>th</sup> international conference on wood and biofiber plastic composites, Madison, Wisconsin, USA.
- Karamanlioglu, M., 2013. Environmental degradation of the compostable plastic packaging material poly(lactic) acid and its impact on fungal communities in compost. PhD Thesis, University of Manchester, 198p.
- Krishnamachari, P., Zhang, J., Lou, J., Yan, J., and Uitenham, L., 2009. Biodegradable poly(lactic acid)/clay nanocomposites by melt intercalation: a study of morphological, thermal, and mechanical properties. *International Journal of Polymer Analysis and Characterization*, 14(4): 336–350.
- Kord, B., Jari, E., Najafi, A., and Tazakorrezaie, V., 2014. Effect of nanoclay on the decay resistance and physicomechanical properties of natural fiber-reinforced plastic composites against white-rot fungi (*Trametes versicolor*). *Journal of Thermoplastic Composite Materials*, 27(8): 1085–1096.
- Kord, B. and Roohani, M., 2015. Morphological, mechanical and barrier properties of polylactic acid/cellulose nanocrystal/nanoclay composite films. *Journal of Wood and Forest Science and Technology*, 21 (4), 41- 60.
- Lee, S.H., and Wang, S., 2006. Biodegradable polymers/bamboo fiber biocomposite with bio-based coupling agent. *Composites: Part A*, 37: 80–91.
- Lim, L.T., Auras, R., and Rubino, M., 2008. Processing technologies for poly(lactic acid). *Progress in Polymer Science*, 33: 820–852.

## بحث

در این تحقیق رفتار زیست تخریب پذیری و مهاجرت فیلم های کامپوزیتی حاصل از نانوکریستال سلولز، نانورس و پلی لاكتیک اسید مورد مطالعه قرار گرفت. برای این منظور فیلم های پلی لاكتیک اسید تقویت شده با مقدار مختلف نانوکریستال سلولز و نانورس ساخته شد و میزان مهاجرت کلی، زیست تخریب پذیری با آنزیم و دفن در خاک و کمپوست آنها مورد ارزیابی قرار گرفت. نتایج نشان داد که میزان زیست تخریب پذیری کامپوزیت ها در محیط آنزیمی، خاک و کمپوست، با افزایش مقدار پرکننده های نانومتری کاهش یافت. همچنین افودن نانوکریستال سلولز و نانورس موجب کاهش انتشار ترکیبات مهاجرت کننده در نانوکامپوزیت ها شده است.

## منابع مورد استفاده

- Almasi, H., Ghanbarzadeh, B., and Dehghannia, J. 2014. Properties of Poly(lactic acid) nanocomposite film containing modified cellulose nanofibers, *Iranian Journal of Polymer Science and Technology* 26(6): 485-497.
- Bordes, P., Pollet, E., and Avérous, L. 2009. Nano-biocomposites: Biodegradable polyester/nanoclay systems, *Progress in Polymer Science* 34(2): 125–155.
- Chuensangjun, C., Pechyen, C., and Sarote Sirisansaneeyakul, S. 2013. Degradation behaviors of different blends of polylactic acid buried in soil, *Energy Procedia* 34: 73–82.
- Dadashi, S., Mousavi, M., Emam D-Jomeh, Z., and Oromiehie, A. 2012. Films based on Poly(lactic acid) biopolymer: effect of clay and cellulosic nanoparticles on their physical, mechanical and structural properties, *Iranian Journal of Polymer Science and Technology* 25(2): 127-136.
- Drumright, R.E., Gruber, P.R., and Henton, D.E. 2000. Polylactic acid technology, *Advanced Materials* 12: 1841–1846.
- De Souza Lima, M.M., Wong, J.T., Paillet, M., Borsali, R., and Pecora, R. 2003. Translational and Rotational Dynamics of Rodlike Cellulose Whiskers, *Langmuir*, 19(1): 24-29.
- EN-1186. 2000. Overall migration testing for packaging and other food contact materials.

- Roohani, M., Habibi, Y., Belgacem, N.M., Ebrahim, G., Karimi, A.N., and Dufresne, A., 2008. Cellulose whiskers reinforced polyvinyl alcohol copolymers nanocomposites. *European Polymer Journal*, 44(8): 2489–2498.
- Roohani, M., Kord, B., Motie, N., and Sharari, M., 2014. Biodegradation behaviors of cellulose nanocrystals -PVA nanocomposites. *Iranian Journal of Wood and Paper Industries*, 5(2): 1-14.
- Roy, P.K., Hakkarainen, M., and Albertsson, A.C., 2012. Nanoclay effects on the degradation process and product patterns of polylactide. *Polymer Degradation and Stability*, 97(8), 124-1260.
- Shogrena, R.L., Doane, W.M., Garlotta, D., Lawton, J.W., and Willett, J.L., 2003. Biodegradation of starch/polylactic acid/poly(hydroxyester-ether) composite bars in soil. *Polymer Degradation and Stability*, 79: 405–411.
- Sinha Ray, S., and Okamoto, M., 2003. Biodegradable polylactide and its nanocomposites: opening a new dimension for plastics and composites. *Macromolecules Rapid Communication* 24: 815–840.
- Singh G., Kaur N., Bhunia H., Bajpai P.K., Mandal U.K., 2011. Degradation behaviors of linear low-density polyethylene and poly(Llactic acid) blends. *Journal of Applied Polymer Science*, 124:1993-1998.
- Liu, D. Y., Yuan, X. W., Bhattacharyya, D. and Easteal A. J., 2010. Characterisation of solution cast cellulose nanofiber reinforced poly(lactic acid) Express Polymer Letters, 4(1): 26–31.
- Mutsuga, M., Kawamura, Y., and Tanamoto, K., 2008. Migration of lactic acid lactide and oligomers from polylactide food-contact materials. *Food Additives and Contaminants*, 25: 1283–1290.
- Nieddu, E., Mazzucco, L., Gentile, P., Benko, T., Balbo, V., Mandrile, R., and Ciardelli, G., 2009. Preparation and biodegradation of clay composites of PLA. *Reactive and Functional Polymers*, 9(6): 371–379.
- Noushirvani, N., Ghanbarzadeh, B., and Entezami, A.K., 2011. Comparison of tensile, permeability and color properties of starch-based bionanocomposites containing two types of fillers: sodium montmorillonite and cellulose nanocrystal. *Iranian Journal of Polymer Science and Technology*, 24(5): 391-402
- Paul, M.A., Delcourt, C., Alexandre, M., Degée, P.H., Monteverde, F., and Dubois, P.H., 2005. Polylactide/montmorillonite nanocomposites: study of the hydrolytic degradation. *Polymer Degradation and Stability*, 87(3), 535–542.
- Rhim, J.W., Hong, S.I., and Ha, C.S., 2009. Tensile, water vapor barrier and antimicrobial properties of PLA/nanoclay composite films. *LWT- Food Science and Technology*, 42: 612–617.

## Biodegradation and migration behavior of cellulose nanocrystal - nanoclay reinforced PLA composites

B. Kord <sup>1\*</sup> and M. Roohani <sup>2</sup>

1\*. Corresponding author, Assistant Prof., Department of Paper and Packaging Technology, Faculty of Chemistry and Petrochemical Engineering, Standard Research Institute (SRI), Karaj, Iran, Email: b.kord@standard.ac.ir

2- Assistant Prof., Department of Paper and Packaging Technology, Faculty of Chemistry and Petrochemical Engineering, Standard Research Institute (SRI), Karj, Iran

Received: Aug., 2015

Accepted: Jan., 2016

### Abstract

In this study, the synergic effects of cellulose nanocrystal and nanoclay on the biodegradation and migration behavior of composite films based on polylactic acid (PLA) were investigated. PLA and PLA-based nanocomposite films containing different loads of cellulose nanocrystal and nanoclay (0, 3 and 5 wt % each) were fabricated using a solvent casting method. In order to improve the compatibility and miscibility of the whole system with respect to PLA matrix, cellulose nanocrystal was treated with oleic acid. For evaluating the biodegradation and migration behavior of films, the enzymatic degradation, biodegradation, buried in soil and compost; and overall migration were tested. The results indicated that the biodegradability of the composites increased with the increase of nanoparticles in the enzymatic, soil and compost media. Besides, with the addition of cellulose nanocrystal and nanoclay to the polymer matrix, the overall migration of composites decreased. This could be due to a better adhesion of the nanoparticles to the polymer matrix, and the tortuosity of their path.

**Key words:** Nanocomposite, polylactic acid, biodegradation, weight loss, overall migration.